

مقایسه اثر دما و میزان سیلیکون کاربید بر خواص و ریزساختار شیشه‌های اسفنجی حاصل از ضایعات شیشه سودالایم و شیشه پانل تلویزیون

مینا سعیدی حیدری^۱، سکینه عباسی^۲، سید محمد میرکاظمی^{۳*}

۱- دانشجوی دانشکده مهندسی مواد و متالورژی، دانشگاه علم و صنعت، تهران، ایران، ایران،

۲- دانشجوی دانشکده مهندسی مواد و متالورژی، دانشگاه علم و صنعت، تهران، ایران، ایران،

۳- استادیار، دانشکده مهندسی مواد و متالورژی، دانشگاه علم و صنعت، تهران، ایران، ایران

* mirkazemi@iust.ac.ir

(تاریخ دریافت: ۱۴/۱۰/۹۱، تاریخ پذیرش: ۲۷/۰۳/۹۱)

چکیده

در این مقاله، تأثیر دما و میزان عامل اسفنجی کننده (سیلیکون کاربید) بر خواص و ریزساختار شیشه‌های اسفنجی حاصل از ضایعات پانل نمایشگر لوله اشعه کاتدی و ضایعات شیشه‌های سودالایم مورد بررسی قرار گرفته است. به این منظور، ابتدا پودر هر یک از دو شیشه ذکر شده با اندازه ذرات کمتر از ۶۳ میکرومتر تهیه شده و سپس پودر سیلیکون کاربید با مقادیر مختلف (۲، ۴، ۶ و ۸ درصد وزنی) به آنها افزوده شد. پودرهای حاصل تحت فشار پرس تک محوره قرار گرفته و سپس در محدوده دمایی ۱۰۵۰-۷۵۰ درجه سانتی گراد با برنامه پخت ثابت، سیتر گردیدند. برای بررسی خواص فیزیکی و مکانیکی نمونه‌ها، آزمون‌های تعیین دانسیته، تخلخل سنجی و استحکام خمی انجام گرفت. همچنین برای مطالعه ریزساختار نمونه‌ها، تصاویر میکروسکوپی آنها با میکروسکوپ الکترونی روشنی تهیه شد. نتایج حاصل از نمونه‌ها نشان داد که سیلیکون کاربید، امکان کنترل ریزساختار شیشه‌های اسفنجی در رسیدن به اندازه حفرات ریز با توزیع نسبتاً باریک را می‌دهد. نمونه حاوی شیشه سودالایم و ۴ درصد وزنی سیلیکون کاربید که در درجه ۸۵۰ مایع شد، نتایجی گردید که در میزان تخلخل (۹۰٪) و استحکام خمی معادل ۵۷٪ مگاپاسکال بود اما ریزساختار درشت و نامتقارن داشت. در مورد شیشه پانل و ۶ درصد وزنی سیلیکون کاربید که در درجه ۹۵۰ سانتی گراد رسید، نتایجی گردید که در میزان تخلخل حدود ۵۵ درصد و استحکام خمی ۱۲ مگاپاسکال بود که ریزساختار نسبتاً یکنواختی داشت. این خواص نسبت به خواص نمونه‌های تجاری، بهبود قابل ملاحظه‌ای یافته است.

واژه‌های کلیدی:

شیشه اسفنجی، ضایعات شیشه سودالایم و پانل، سیلیکون کاربید (SiC)، تخلخل

۱- مقدمه

خام را کاهش داده و منجر به حفظ زیبایی مناطق اطراف شهرها می‌گردد [۱]. یکی از راهکارهای استفاده از این شیشه‌ها، تولید شیشه‌های اسفنجی است. شیشه‌های اسفنجی به

سالانه ده‌ها میلیون تن شیشه‌های ضایعاتی در سراسر دنیا تولید می‌شود. استفاده از این شیشه‌ها سبب ذخیره صدها هزار تن ماده خام اولیه در هر سال می‌شود که این کار نیاز به استخراج ماده

کننده، اندازه ذرات شیشه اولیه و عامل اسفنجی کننده، دمای فرایند، سرعت گرمایش و سرمايش می باشد [۱۲]. در تحقیق حاضر، با استفاده از عامل اسفنجی کننده سیلیکون کاریید و با در نظر گرفتن اندازه ذرات ثابت شیشه اولیه و سیلیکون کاریید و سرعت گرمایش و سرمايش ثابت، اثر تغییر دمای فرایند در ساخت شیشه اسفنجی با استفاده از دو ترکیب متفاوت شیشه، شیشه سودالایم و شیشه پانل تلویزیون های CRT، بر روی ریزساختار و خواص مکانیکی انجام شد.

۲- مواد و روش تحقیق

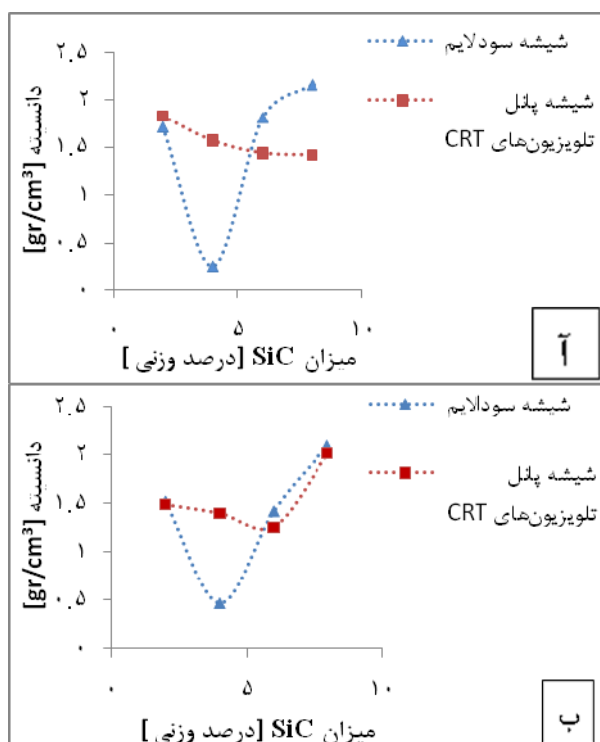
برای تهیه نمونه ها از شیشه های پانل تلویزیون رنگی و سودالایم استفاده شد. اندازه دانه شیشه های مورد استفاده بین ۵۳-۶۳ میکرومتر بود. ترکیب این دو شیشه در جدول (۱) آورده شده است.

جدول (۱): ترکیب شیمیایی شیشه های استفاده شده در تحقیق (درصد وزنی)

ترکیب	سودالایم	پانل
SiO ₂	۷۱/۹۳	۶۰/۷
Na ₂ O	۱۱/۴۴	۷/۵۰
K ₂ O	۰/۴۱۴	۶/۹۰
CaO	۱۰/۲۱	۰/۱
Al ₂ O ₃	۱/۵۱	۱/۷۰
ZrO ₂	۰/۰۰۸	۵/۵۰
TiO ₂	۰/۱۶۱	۰/۰۵
Fe _۲ O _۳	۰/۲۴۸	۰/۰۵
ZnO	-	۰/۲۰
SrO	-	۸/۶۰
BaO	-	۹/۹۰
Sb ₂ O _۳	-	۰/۴۵
PbO	-	۰/۰۱
SO _۳	۰/۱۵	-
P _۲ O _۵	۰/۰۷	-
Cl	۰/۰۶	-
MgO	۷۴/۳	-

علت ساختمان اسفنجی خود، در میان انواع شیشه ها خواص منحصر به فردی دارند. سبکی، سختی و صلبی^۱ مقاومت فشاری بالا، مقاومت در برابر آب و بخار آب، عایق حرارتی و صوتی بودن، غیر قابل اشتعال، غیر سمی و از نظر شیمیایی خنثی بودن از جمله این خواص هستند. مهم ترین این خواص، عایق حرارتی و صوتی بودن می باشد. خاصیت فوق در یک لایه با ضخامت ۵ سانتی متر از شیشه اسفنجی با یک آجر عایق به ضخامت ۴۵-۵۰ سانتی متر برابر می کند [۳-۲]. از انواع شیشه های ضایعاتی، مخصوصاً شیشه های پنجره و بطری (سودالایم)، شیشه های لوله های اشعه کاتدی^۲ (مانند صفحه نمایش تلویزیون و کامپیوتر)، شیشه های بورو سیلیکاتی صنایع شیمیایی و شیشه لامپ های فلورسنت می توان جهت ساخت شیشه اسفنجی استفاده نمود. در این بین استفاده ای مجدد از ضایعات شیشه های سودالایم به علت درصد بالای آن ها در ایران و شیشه های تلویزیون لوله ای اشعه کاتدی به علت درصد بالای سرب، اکسید های باریم و استرانسیم در آن ها بسیار مورد توجه است [۷-۳]. مؤثر ترین روش جهت ساخت شیشه ای اسفنجی، مخلوط نمودن ضایعات شیشه های آسیاب شده به همراه یک عامل اسفنجی کننده است. عوامل اسفنجی کننده رایج شامل کربن یا مواد کربناتی می باشد. طبق نتایج سایر محققان معمولاً افزودن عوامل اسفنجی کننده پایه کربناتی مانند دولومیت، کربنات سدیم و کربنات کلسیم و یا پایه کربنی مانند کربن آمورف و گرافیت باعث ایجاد تخلخل های درشت و ناهمگن، و توزیع نامناسب تخلخل ها و در نهایت افت شدید استحکام مکانیکی شیشه های اسفنجی می شود [۸]. در مقابل، افروden عوامل اسفنجی کننده دیگر مانند TiN، Si₃N₄، AlN و SiC (سیلیکون کاریید) باعث ایجاد تخلخل های نسبتاً همگن با اندازه حفرات کوچک و توزیع اندازه ذرات نسبتاً باریک شده و در نهایت خواص مکانیکی بهبود می یابد [۹-۱۱]. خواص نهایی شیشه های اسفنجی، همچون استحکام مکانیکی و هدایت حرارتی، شدیداً وابسته به ریزساختار آن ها می باشد. در ضمن ریزساختار این شیشه ها نیز وابسته به نوع و ترکیب شیشه استفاده شده، نوع عامل اسفنجی

حاصل از شیشه‌های پانل نمایشگر لوله اشعه کاتدی (CRT) و شیشه‌های سودالایم بر حسب مقادیر مختلف سیلیکون کاربید در دماهای ۸۵° و ۹۵° درجه سانتی گراد آورده شده است. لازم به ذکر است که در نمونه‌های سینتر شده حاصل از هر دو نوع شیشه، در دمای ۷۵° درجه سانتی گراد، میزان تخلخل کمتر از ۵ درصد بود و به عبارتی این سری از نمونه‌ها کاملاً سینتر شده بودند. به نظر می‌رسد که دمای ۷۵° درجه سانتی گراد برای تجزیه سیلیکون کاربید و تبدیل آن به CO₂ کافی نمی‌باشد. زیرا در اتمسفر اکسیدی سیلیکون کاربید در حدود ۸۰° درجه سانتی گراد شروع به اکسیدشدن می‌کند که سرعت اکسیداسیون با افزایش دما افزایش می‌یابد. نمونه‌های سینتر شده در ۱۰۵° درجه سانتی گراد نیز بسیار ترد بودند.



شکل (۱): نمودار تغییرات دانسیته نمونه‌های شیشه اسفنجی حاصل از شیشه‌های پانل تلویزیون‌های CRT و شیشه‌های سودالایم بر حسب مقادیر مختلف سیلیکون کاربید در دماهای (۸۵° و ۹۵° درجه سانتی گراد).

دلیل غیر قابل قبول بودن این دو دما این است که در صورتی که دمای فوم شدن شیشه خیلی بالا انتخاب شود، ویسکوزیته مذاب

به هر یک از این پودرهای درصدهای متفاوتی از پودر تجاری سیلیکون کاربید (۲، ۴، ۶ و ۸ درصد وزنی) با اندازه ذرات ۴۵ میکرومتر اضافه شد. سپس به مخلوط این پودرهای، به میزان ۳ درصد وزنی چسب (PVA) و ۵ درصد وزنی آب اضافه شده و پس از نگهداری به مدت ۲۴ ساعت، تحت فشار پرس تک محوره به میزان ۷۵ bar گرفت. بعد از این ۱۲×۲/۵×۱ cm³ ASTM D790 استاندارد، با ابعاد ۷۵°، ۸۵°، ۹۵° و ۱۰۵° درجه سانتی گراد، چهار نمونه به مدت یک ساعت و با سرعت حرارت دهی ۱۰ °C/min در کوره آترا سینتر شدند. سرمایش نمونه‌ها در کوره بسیار کمتر از سرعت گرمایش پودر اولیه در نظر گرفته شد که به علت استحکام کمتر فوم نسبت به شیشه می‌باشد. برای تعیین خواص فیزیکی و مکانیکی نمونه‌ها، آزمایش‌های دانسیته (نسبت جرم به واحد حجم)، تخلخل سنجی و استحکام خمشی صورت گرفت. به منظور اندازه گیری درصد تخلخل، از رابطه‌ی (۱) استفاده شد که در آن دانسیته‌ی پیکنومتری با استفاده از رابطه‌ی (۲) به دست می‌آید. در این رابطه دانسیته‌ی پیکنومتری، a وزن پیکنومتر، b وزن پیکنومتر و پودر شیشه، c وزن پیکنومتر و پودر شیشه و آب و d وزن پیکنومتر و آب می‌باشد.

$$(1) \quad 100 \times (\text{دانسیته پیکنومتری} / \text{دانسیته بالک}) - 1 = \text{درصد تخلخل}$$

$$d_p = (b-a) / [(d-a)-(c-b)] \quad (2)$$

استحکام خمشی سه نقطه‌ای نمونه‌ها با استفاده از دستگاه صنعت سرام (ساخت ایران) اندازه گیری شد. سرعت اعمال نیرو و فاصله فک‌های دستگاه ۲۰ cm/min و ۱۰ سانتی‌متر بود. به منظور بررسی ریزساختار نمونه‌ها از میکروسکوپ الکترونی روبشی^۳ با قابلیت بزرگنمایی ۳۰۰۰۰ برابر (TESCAN model VEGA, 30KV) بهره گرفته شد.

۲- نتایج و بحث

۳- ۱- خواص فیزیکی و مکانیکی
در شکل (۱)، نمودار تغییرات دانسیته نمونه‌های شیشه اسفنجی

می باشد. در این پدیده، حفره های کوچک به نفع حفره های بزرگتر از بین می روند و انرژی سطحی سیستم کاهش می یابد، دیواره حفرات ضخیم تر شده و دانسته افزایش می یابد [۱۶]. به بیان دیگر در حین خروج گاز، دانسته به طور مداوم تا کمترین مقدار کاهش می یابد. پس از پایان این مرحله، یک فرایند تدریجی تخریب و در هم ریختگی اسفنج به سبب پیوستن حفرات به یکدیگر آغاز می شود. بنابراین سطح انرژی سیستم با کاهش سطح ویژه دیواره حفرات کاهش می یابد. این فرایند منجر به افزایش دانسته و کاهش درصد تخلخل می شود [۱۷].

می توان گفت، علت افزایش دانسته در نمونه حاصل از شیشه پانل به اضافه ۸ درصد وزنی سیلیکون کاربید و در دمای ۹۵۰ درجه سانتی گراد، همین پدیده درشت شدن می باشد. همچنین براساس شکل (۱-آ و ب)، مشاهده می شود که با افزایش دما از ۸۵۰ به ۹۵۰ درجه سانتی گراد، روند مشابهی در منحنی های دانسته مربوط به شیشه اسفنجی سودالایم صورت گرفته است، بعارتی در هر دو دمای مذکور، با افزایش درصد سیلیکون کاربید تا ۴ درصد وزنی دانسته کاهش یافته ولی با افزایش بیشتر سیلیکون کاربید افزایش دانسته رخ داده است. با این حال برای نمونه های حاصل از شیشه های پانل رفتاری متفاوت مشاهده می شود، به طوریکه با افزایش دما به ۹۵۰ درجه سانتی گراد، با افزودن تا ۶ درصد وزنی سیلیکون کاربید، دانسته به طور پیوسته کاهش می یابد اما در مقادیر بیشتر افزایش ناگهانی ۹۵۰ رخ می دهد. به علاوه، براساس شکل (۱-ب)، در دمای ۹۵۰ درجه سانتی گراد دو شیشه پانل و سودالایم، به جز در ترکیب حاوی ۴ درصد وزنی سیلیکون کاربید، رفتار مشابهی داشته اند، که این موضوع در نمونه های تهیه شده در دمای ۸۵۰ درجه سانتی گراد دیده نمی شود.

شکل (۲)، درصد تخلخل نمونه های شیشه ای اسفنجی حاصل از شیشه های پانل نمایشگر لوله اشعه کاتدی (CRT) و شیشه های سودالایم بر حسب مقادیر مختلف سیلیکون کاربید را در دمای ۸۵۰ و ۹۵۰ درجه سانتی گراد نشان می دهد.

خیلی کم شده و کترول ریز ساختار مشکل می شود، زیرا حباب ها به بالای قالب صعود می کنند و در نتیجه میزان تخلخل ها زیاد و توزیع آن ها در شیشه اسفنجی نهایی غیریکنواخت خواهد شد. در مقابل، اگر دما خیلی پایین باشد، ویسکوزیته مذاب خیلی زیاد شده، انبساط گاز مشکل می شود و افزایش اندکی در حجم رخ می دهد که منجر به ایجاد تخلخل های کمتر در ریز ساختار می شود [۱۳] به این ترتیب نمونه های مربوط به این دو مورد بحث قرار نگرفتند.

دماهای سینتر نمونه ها، بالاتر از دمای نرم شوندگی شیشه های CRT و سودالایم انتخاب شدند، به این دلیل که اکسیژن بتواند به آسانی وارد سیستم شده و در نتیجه سیلیکون کاربید به راحتی قادر به اکسید شدن باشد. به علاوه اگر تولید گاز در دماهای زیر نقطه نرم شوندگی رخ دهد، شیشه سینتر نشده، تخلخل ها بسته نمی شوند و شیشه نرم شده نمی تواند محصولات گازی را داخل خود نگه دارد.

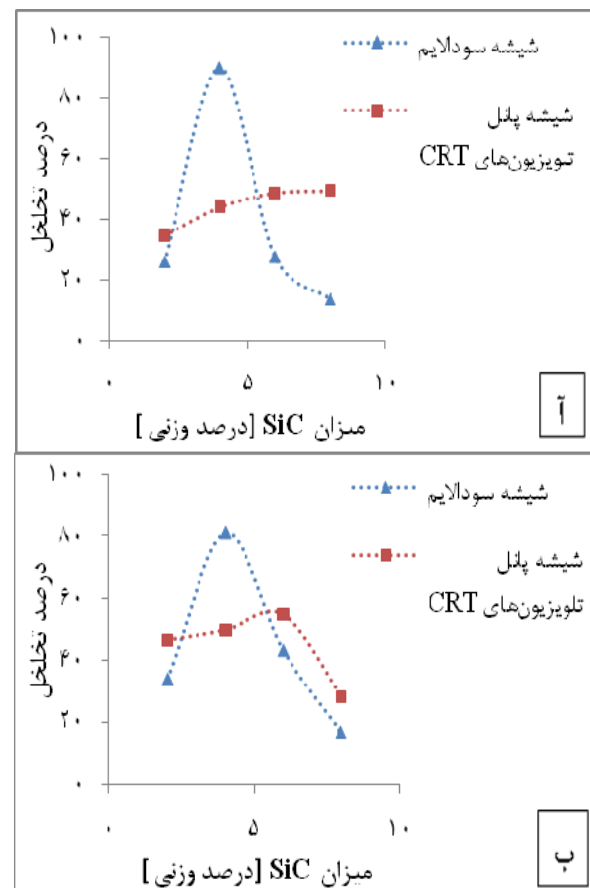
همان طور که در شکل (۱) مشاهده می شود، نمودار تغییرات دانسته دو شیشه پانل و سودالایم بسیار متفاوت است. در شیشه های اسفنجی حاوی شیشه پانل که در دمای ۸۵۰ درجه سانتی گراد سینتر شده اند، با افزایش میزان سیلیکون کاربید، دانسته به طور پیوسته کاهش یافته است، ولی در نمونه های حاوی شیشه سودالایم ابتدا دانسته به مقدار زیاد کاهش یافته و سپس به شدت افزایش یافته است. تفاوت موجود در ترکیب شیمیایی دو شیشه پانل و سودالایم موجب می گردد که رفتار سینترینگ این دو شیشه متفاوت باشد. زیرا، دمای انتقال به شیشه و دمای نرم شوندگی شیشه های پانل و سودالایم برای شیشه پانل به ترتیب حدود ۵۲۰ و ۵۹۰ درجه سانتی گراد و برای شیشه های سودالایم نیز به ترتیب حدود ۵۶۴ و ۶۰۰ درجه سانتی گراد است [۱۴ - ۱۵]. به این ترتیب ویسکوزیته شیشه های پانل در دمای ۸۵۰ درجه سانتی گراد کمتر از شیشه سودالایم بوده و در نتیجه خروج حجم بیشتری از گاز، منجر به کاهش پیوسته دانسته شده است. از طرفی، عدم کاهش پیوسته دانسته در نمونه های حاوی شیشه سودالایم به دلیل پدیده درشت شدن ساختار اسفنجی

نمونه‌های حاصل از ۶ درصد وزنی سیلیکون کاربید حاصل شده است.

بنابراین با افزایش دمای سیتر، میزان سیلیکون کاربید مورد نیاز برای رسیدن به حداقل دانسیته و در نتیجه حداکثر میزان تخلخل کاهش می‌یابد و افزودن مقادیر بیشتر سیلیکون کاربید منجر به کاهش دانسیته‌ی نمونه‌ی شیشه‌ی اسفنجی نمی‌شود. این تغییرات را می‌توان اینگونه توضیح داد که با افزایش دما، سرعت و میزان اکسیداسیون سیلیکون کاربید افزایش یافته و مقدار اکسیژن مورد نیاز برای تشکیل تخلخل‌ها افزایش می‌یابد، در این صورت با مقدار کمتری از سیلیکون کاربید، افزایش تخلخل‌ها و کاهش دانسیته صورت می‌گیرد. به علاوه می‌توان گفت، در دمای ۹۵۰ درجه سانتی گراد سرعت اکسیداسیون سیلیکون کاربید بیشتر از سرعت سیتر شیشه بوده و منجر به افزایش تخلخل و کاهش دانسیته شده است.

همچنین مشاهده می‌شود که در هر دو دمای ۸۵۰ و ۹۵۰ درجه سانتی گراد، نمونه‌های حاصل از شیشه‌های پانل به جز نمونه حاصل از ۴ درصد وزنی سیلیکون کاربید، رفتار بهتری داشته‌اند و دارای درصد تخلخل بیشتری نسبت به نمونه‌های حاصل از شیشه سودالایم می‌باشند. با این حال در نمونه حاصل از شیشه‌های سودالایم و ۴ درصد وزنی سیلیکون کاربید، بیشترین میزان تخلخل به دست آمده است، که این میزان تخلخل قابل مقایسه با نمونه‌های تجاری شیشه‌های اسفنجی است.

در جدول (۲)، استحکام خمسی نمونه‌های شیشه‌ی اسفنجی حاصل از شیشه‌های پانل تلویزیون‌های CRT و شیشه‌های سودالایم بر حسب مقادیر مختلف سیلیکون کاربید و دماهای آزمایش (آ) ۸۵۰ و (ب) ۹۵۰ درجه سانتی گراد آورده شده است. معمولاً استحکام خمسی با دانسیته رابطه‌ای مستقیم و با درصد تخلخل رابطه‌ای معکوس دارد. در اینجا نیز، مشاهده می‌شود که استحکام نمونه‌های حاصل از شیشه‌های پانل خیلی بیشتر از نمونه‌های حاصل از شیشه سودالایم است که به علت درصد تخلخل کمتر این نمونه‌ها می‌باشد.

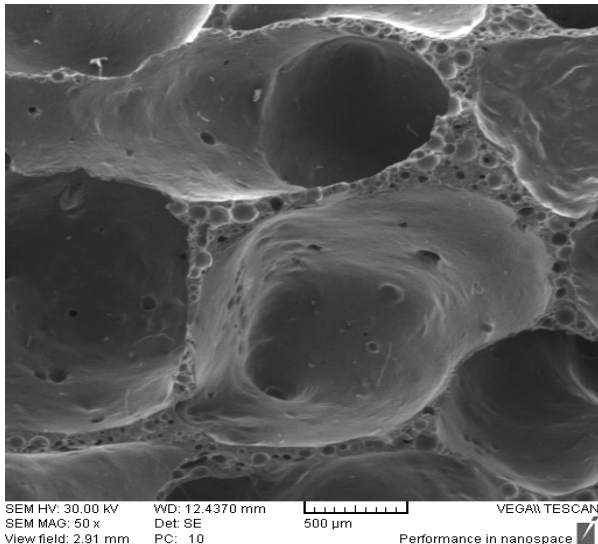


شکل (۲): نمودار درصد تخلخل نمونه‌های شیشه‌ی اسفنجی حاصل از شیشه‌های پانل تلویزیون‌های CRT و شیشه‌های سودالایم بر حسب مقادیر مختلف سیلیکون کاربید در دماهای: (آ) ۸۵۰ و (ب) ۹۵۰ درجه سانتی گراد.

معمولأً درصد تخلخل با دانسیته رابطه‌ی معکوس دارد. در نمونه‌های حاصل از شیشه‌های پانل در دمای ۸۵۰ درجه سانتی گراد، با افزایش سیلیکون کاربید، دانسیته به طور پیوسته کاهش و تخلخل افزایش یافته است و به این معنی است که در این دما، با افزایش سیلیکون کاربید پدیده‌ی درشت شدن صورت نگرفته، ولی احتمال دارد در مقادیر بیشتر سیلیکون کاربید صورت گیرد. با این حال همانطور که ذکر شد در نمونه‌های حاوی شیشه سودالایم این پدیده رخ داده و منجر به کاهش شدید میزان تخلخل پس از افزایش بسیار آن شده است. در نمونه‌های حاصل از شیشه‌های پانل در دمای ۹۵۰ درجه سانتی گراد، کمترین دانسیته و بیشترین درصد تخلخل برای

در ادامه نتایج مطالعات ریزاساختاری و ارتباط آن با استحکام مکانیکی نمونه‌ها مورد بحث قرار گرفته است.

۲-۳- تصاویر ریزاساختار
در تحقیق حاضر تصاویر ریزاساختاری نمونه‌هایی با تخلخل بالای ۵۰ درصد در دماهای ۸۵° و ۹۵° درجه سانتی گراد تهیه شده است. شکل (۳)، تصویر ریزاساختاری نمونه حاصل از شیشه سودالایم و ۴ درصد وزنی سیلیکون کاربید که در دمای ۸۵° درجه سانتی گراد سیتر شده است، را نشان می‌دهد. در نمونه‌ی حاصل از شیشه‌ی پانل و ۴ درصد وزنی سیلیکون کاربید که در این دما سیتر شده است، تخلخلی کمتر از ۵۰ درصد به دست آمده و به همین علت تصویر آن آورده نشده است.



شکل (۳): تصویر SEM شیشه‌ای اسفنجی حاصل از شیشه‌های سودالایم به همراه ۴ درصد وزنی سیلیکون کاربید و سیتر شده در دمای ۸۵° درجه سانتی گراد.

شکل (۴)، تصاویر ریزاساختاری نمونه‌های حاصل از شیشه‌های پانل و سودالایم به همراه ۶ درصد وزنی سیلیکون کاربید را نشان می‌دهد که در دمای ۸۵° درجه سانتی گراد سیتر شده‌اند.

جدول (۲): استحکام خمشی نمونه‌های شیشه‌ای اسفنجی حاصل از شیشه‌های پانل تلویزیون‌های CRT و شیشه‌های سودالایم بر حسب مقادیر مختلف سیلیکون کاربید در دماهای (۴۰ و ۶۰ درجه سانتی گراد).

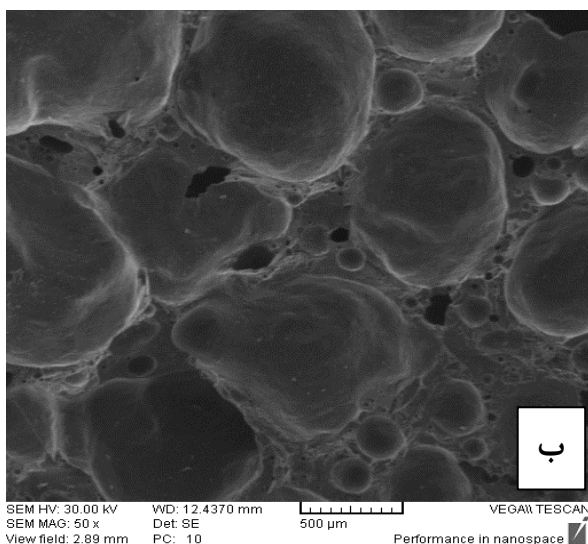
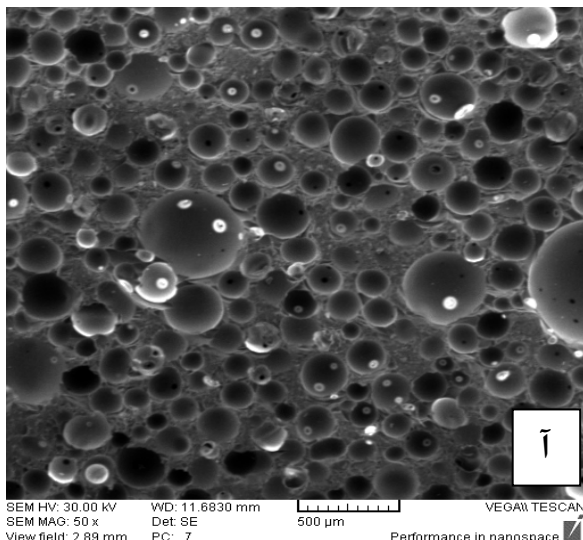
آ. استحکام [مگاپاسکال]		
درصد سیلیکون کاربید	شیشه پانل شیشه سودالایم تلویزیون‌های CRT	
۴	۰/۵۷ ± ۰/۰۴	۱۸/۰۶ ± ۰/۰۴
۶	۲/۳۵ ± ۰/۰۴	۲۰/۴۲ ± ۰/۰۴

ب. استحکام [مگاپاسکال]		
درصد سیلیکون کاربید	شیشه پانل شیشه سودالایم تلویزیون‌های CRT	
۴	۱/۸۵ ± ۰/۰۴	۱۳/۰۵ ± ۰/۰۴
۶	۱/۵۵ ± ۰/۰۴	۱۲/۱۶ ± ۰/۰۴

این امر به خوبی شناخته شده است که؛ مقدار تخلخل و شکل تخلخل‌ها، استحکام مکانیکی شیشه و سرامیک‌های اسفنجی را تعیین می‌کند. اندازه‌ی تخلخل‌ها و ضخامت دیواره‌های آن‌ها نیز نقش مهمی را در نتایج استحکام مکانیکی بر عهده دارد [۸]، به این علت که افزایش ضخامت دیواره‌ها سبب افزایش نقص‌های خط‌ناک در نمونه می‌شود [۱۸]. با درصدهای تخلخل بالا، کاهش ضخامت دیواره‌های حفرات منجر به افزایش استحکام مکانیکی نمونه خواهد شد.

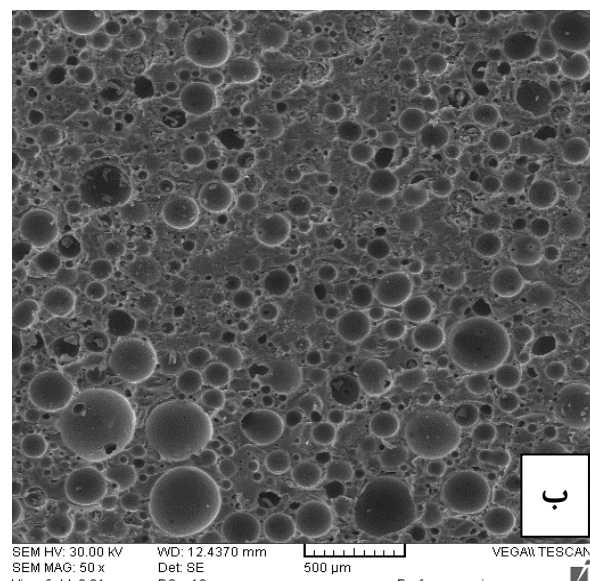
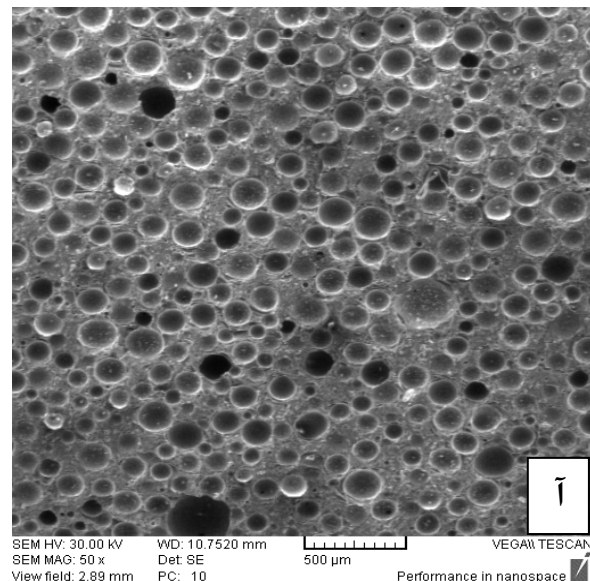
به این علت که از هم گسیختگی اسفنج‌ها در پی خمیده شدن دیواره‌ی حفرات و لبه‌ها صورت می‌گیرد و در نتیجه دیواره‌ها و لبه‌های باریک‌تر به سبب کاهش ترک‌های بحرانی احتمالی، مطلوب‌تر هستند [۱۰].

علاوه بر افزایش میزان تخلخل‌ها، به علت توزیع یکنواخت آن‌ها، نمونه حاصل دارای استحکام بسیار بالاتری است.



شکل (۵): تصویر SEM نمونه‌های شیشه‌ی اسفنجی سینتر شده در دمای ۹۵ درجه سانتی‌گراد و حاصل از ۴ درصد وزنی سیلیکون کاربید به همراه آ (شیشه‌های پانل تلویزیون‌های CRT و ب) شیشه‌های سودالایم.

تصاویر ۵ و ۶، ریزساختار نمونه‌های شیشه‌ی اسفنجی شامل شیشه‌های پانل و شیشه‌های سودالایم به همراه ۴ و ۶ درصد وزنی سیلیکون کاربید را نشان می‌دهند. این نمونه‌ها در دمای ۹۵ درجه سانتی‌گراد سینتر شده‌اند.



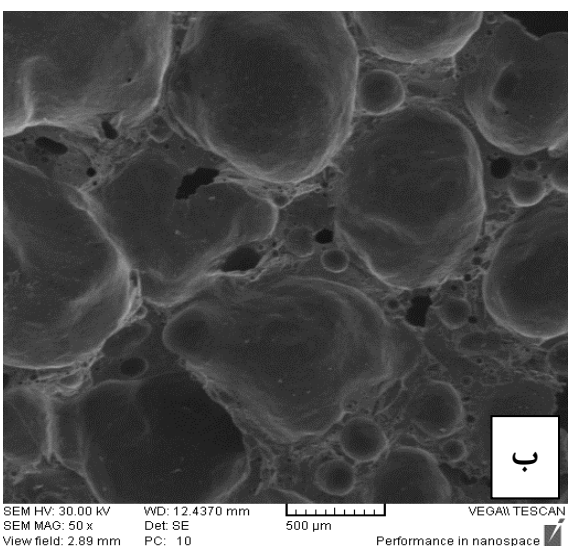
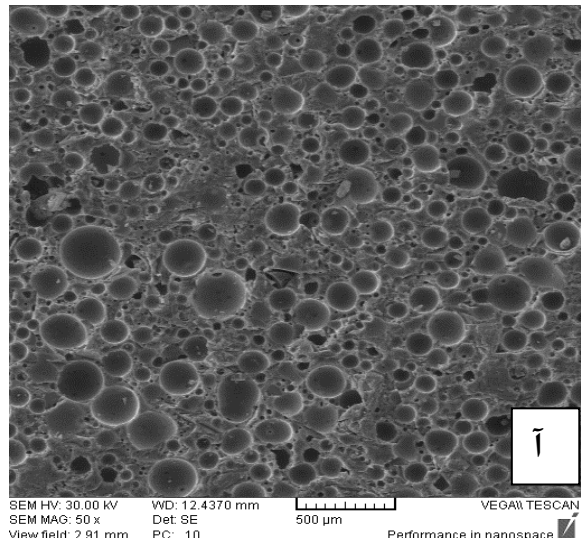
شکل (۴): تصویر SEM نمونه‌های شیشه‌ی اسفنجی سینتر شده در دمای ۸۵ درجه سانتی‌گراد و حاصل از ۶ درصد سیلیکون کاربید به همراه آ (شیشه‌های پانل تلویزیون‌های CRT و ب) شیشه‌های سودالایم.

همان‌طور که مشاهده می‌شود نمونه‌های حاصل از شیشه سودالایم رفتاری متفاوت دارند، به این معنی که با افزایش میزان سیلیکون کاربید در این شیشه، میزان تخلخل‌ها و ابعادشان بسیار کاهش یافته است و منجر به کاهش درصد تخلخل و افزایش استحکام شده است. با این حال در نمونه حاصل از شیشه پانل

زمان ۸۵ دقیقه به دمای نهایی رسانده می‌شوند، پس زمان خروج گاز به میزان ۱۰ دقیقه بیشتر شده و درصد تخلخل افزایش می‌یابد. با این حال با افزایش دما در نمونه‌ی حاصل از شیشه سودالایم و ۴ درصد وزنی سیلیکون کاربید، میزان و ابعاد تخلخل‌ها کاهش یافته است که منجر به افزایش استحکام این نمونه نیز شده است. علت این امر سرعت بالای اکسیداسیون سیلیکون کاربید، سرعت کمتر خروج گاز و در نتیجه فرصت بیشتر برای خروج گازها در دمای بالاتر است. خروج آهسته گازها باعث ایجاد تخلخل‌های ریزتر و یکنواخت‌تر می‌شود، ولی در نمونه‌ای که در دمای ۸۵۰ درجه سانتی‌گراد سینتر شده است، توزیع غیریکنواختی از تخلخل‌ها مشاهده می‌شود که به دلیل سرعت بیشتر خروج گازها نسبت به سرعت اکسیداسیون سیلیکون کاربید می‌باشد و منجر به افزایش کمی در میزان تخلخل این نمونه نسبت به نمونه سینتر شده در دمای ۹۵۰ درجه سانتی‌گراد شده است. همچنین در این نمونه حفرات ریزی در درون دیواره‌ها مشاهده می‌شود که موجب تقویت خاصیت عایق بودن شیشه اسفنجی می‌گردد. قابل ذکر است، حفرات بسته نسبت به حفرات باز در میزان خاصیت عایق بودن شیشه بسیار مؤثرتر هستند. همانطور که دیده می‌شود حفرات بسته در این نمونه بسیار زیاد می‌باشند، بنابراین شیشه اسفنجی ساخته شده با ترکیب مذکور و سینتر شده در شرایط بیان شده، عایق خوبی در برابر گرمایش و صوت خواهد بود.

طبق شکل ۵ و ۶، در نمونه‌های سینتر شده در دمای ۹۵۰ درجه سانتی‌گراد که حاصل از شیشه پانل و ۴ و ۶ درصد وزنی سیلیکون کاربید می‌باشند، توزیع اندازه تخلخل‌ها تقریباً یکسان بوده و در نتیجه در داده‌های استحکام خمی تفاوت زیادی دیده نمی‌شود (تقریباً ۲ مگاپاسکال). به علاوه با افزایش درصد سیلیکون کاربید، تغییر قابل ملاحظه‌ای در میزان و اندازه تخلخل‌ها رخ نداده و در نتیجه اختلاف ناچیزی در درصد تخلخل مشاهده می‌شود (۰.۵%).

در مجموع ابعاد تخلخل‌ها در نمونه‌ی شیشه اسفنجی حاصل از شیشه پانل بسیار کوچکتر از نمونه‌های حاصل از شیشه سودالایم



شکل (۶): تصویر SEM نمونه‌های شیشه اسفنجی سینتر شده در دمای ۹۵۰ درجه سانتی‌گراد و حاصل از ۶ درصد وزنی سیلیکون کاربید به همراه (آ) شیشه‌های پانل تلویزیون‌های CRT و (ب) شیشه‌های سودالایم.

همان‌طور که مشاهده می‌شود با افزایش دمای سینتر به ۹۵۰ درجه سانتی‌گراد، در هر دو شیشه‌ی پانل و سودالایم، میزان تخلخل افزایش یافته است، چنین تفاوتی در مقایسه با نمونه‌های سینتر شده در دمای ۸۵۰ درجه سانتی‌گراد، به این علت است که چون سرعت گرمایش نمونه‌ها در هر دو دما یکسان است، نمونه‌های سینتر شده در ۹۵۰ درجه سانتی‌گراد، در مدت زمان ۹۵ دقیقه و نمونه‌های سینتر شده در ۸۵۰ درجه سانتی‌گراد، مدت

- [4] K. Ravindra, C. L. Mukesh, D. Thomas, "Recycling and Reuse Of Glass Cullet", pp. 124-130, Thomas. Telford Publishing, London, 2001.
- [5] G. Jeremy, A. Elisa, K. Randolph, "Characterizing Sustainable Material Recovery System: a Case Study of E-Waste Materials", J. Miner. Met. Mater. Soc., 2007.
- [6] S. Roy, M. Junk, S. Sundar, "Understanding the Porosity Dependence of Heat Flux Through Glass Fiber Insulation", Math. Comput. Model., Vol. 43, pp. 485-492, 2006.
- [7] M. Wiśniewska, S. Chibowski, T. Urban, "The Temperature Influence on the Adsorption and Electrokinetical Properties in the Nonionic Polymer/Controlled Porosity Glass (CPG) System", Mater. Chem. Phys., Vol. 103, pp. 216-221, 2007.
- [8] H.R. Fernandes, D.U. Tulyaganov, J.M.F. Ferreira, "Preparation and Characterization of Foams from Sheet Glass and Fly Ash using Carbonates as Foaming Agents", Ceram. Int., Vol. 35, pp. 229-235, 2009.
- [9] P.G. Yot, F.O. Méar, "Lead Extraction from Waste Funnel Cathode-Ray Tubes Glasses by Reaction with Silicon Carbide and Titanium Nitride", Hazard. Mater., Vol. 172, pp. 117-123, 2009.
- [10] P.G. Yot, F.O. Méar, "Characterization of Lead, Barium and Strontium Leachability from Foam Glasses Elaborated using Waste Cathode Ray-Tube Glasses", Hazard. Mater., Vol. 185, pp. 236-241, 2011.
- [11] A.S. Llaudis, M.J.O. Tari, F.J.G. Ten, E. Bernardo, P. Colombo, "Foaming of Flat Glass Cullet using Si_3N_4 and MnO_2 Powders", Ceram. Int., Vol. 35, pp. 1953-1959, 2009.
- [12] S.A. Christian, "Foam Glass Production from Vitrified Municipal Waste Fly Ashes", Ph.D Thesis, pp. 91-169, 2006.
- [13] M.C. Limbachiya, J.J. Roberts, "Sustainable Waste Management and Recycling: Glass Waste", Thomas. Telford Publishing, London, 2004.
- [14] J.T. Littleton, "The Effect of Temperature Treatment on Glass to Metal Seals", J. Am. Ceram. Soc., Vol. 18, pp. 239, 1935.
- [15] E. Bernardo, F. Albertini, "Glass Foams from Dismantled Cathode Ray Tubes", Ceram. Int., Vol. 32, pp. 603-608, 2006.
- [16] F. Méar, P. Yot, R. Viennois, M. Ribes, "Mechanical Behaviour and Thermal and Electrical Properties of Foam Glass", Ceram. Int., Vol. 33, pp. 543-550, 2007.
- [17] M. Scheffler, P. Colombo, "Cellular Ceramics: Structure, Manufacturing, Properties and Applications", Wiley-VCH, Weinheim, Germany, pp. 161-174, 2005.
- [18] E. Bernardo, R. Cedro, M. Florean, S. Hreglich, "Reutilization and Stabilization of Wastes by the Production of Glass Foams", Ceram. Int., Vol. 33, pp. 963-968, 2007.

بوده که این امر افزایش بیش از اندازه استحکام را در نمونه‌های حاصل از شیشه پانل تأیید می‌کند.

۴- نتیجه‌گیری

۱- امکان ساخت شیشه‌های اسفنجی با ریزساختار و خواص فیزیکی و مکانیکی مناسب و قابل مقایسه با نمونه‌های تجاری وجود دارد.

۲- سیلیکون کاربید عامل اسفنجی کننده بسیار مناسبی برای ساخت شیشه‌های اسفنجی حاصل از ضایعات پانل CRT و شیشه‌های سودالایم است.

۳- ابعاد تخلخل‌ها در نمونه‌های شیشه اسفنجی پانل بسیار کوچکتر از نمونه‌های شیشه اسفنجی سودالایم بوده که این امر منجر به افزایش بیش از اندازه استحکام در نمونه‌های حاصل از شیشه پانل شده است.

۴- با افزودن ۴ درصد وزنی سیلیکون کاربید به پودر شیشه سودالایم، شیشه متخلخل با توزیع یکنواختی از اندازه تخلخل‌ها و درصد تخلخلی در حدود ۹۰ درصد حاصل شد که در حد نمونه‌های تجاری است.

۵- با افزایش دما از ۸۵۰ به ۹۵۰ درجه سانتی‌گراد، روند مشابهی در منحنی‌های دانسیته و درصد تخلخل مربوط به شیشه اسفنجی سودالایم صورت گرفته است، در حالی که در شیشه‌های اسفنجی پانل رفتاری متفاوت مشاهده می‌شود، که به علت تفاوت موجود در ترکیب شیمیایی این دو شیشه است.

۵- مراجع

- [1] R. Lebullenier, S. Chenu, J. Rocherullé, O. Merdignac-Conanec, F. Cheviré, F. Tessier, A. Bouzaza, S. Brosillon, "Glass Foams for Environmental Applications", Non-Crystal. Solids, Vol. 356, pp. 2562-2568, 2010.
- [2] M. Chen, F.S. Khang, J. Zhu, "Effective Utilization of Waste Cathode Ray Tube Glass-Crystalline Silicotitanate Synthesis", Hazard. Mater., Vol. 182, pp. 45-49, 2010.
- [3] N. Gupta, R. Ye, M. Porfiri, "Comparison of Tensile and Compressive Characteristics of Vinyl Ester/Glass Microballoon Syntactic Foams", Composites Part B, Vol. 41, pp. 236-245, 2010.

۶- پی‌نوشت

- 1- Rigid
- 2- Cathode Ray Tube (CRT)
- 3- Scanning Electron Microscopy (SEM)